Zeitschrift: Archives des sciences [1948-1980]

Herausgeber: Société de Physique et d'Histoire Naturelle de Genève

Band: 12 (1959)

Heft: 4

Artikel: Calcul de l'activité d'une feuille d'Au198 à partir d'une mesure de

coïncidence -

Autor: Roux, Dominique

DOI: https://doi.org/10.5169/seals-739080

Nutzungsbedingungen

Die ETH-Bibliothek ist die Anbieterin der digitalisierten Zeitschriften auf E-Periodica. Sie besitzt keine Urheberrechte an den Zeitschriften und ist nicht verantwortlich für deren Inhalte. Die Rechte liegen in der Regel bei den Herausgebern beziehungsweise den externen Rechteinhabern. Das Veröffentlichen von Bildern in Print- und Online-Publikationen sowie auf Social Media-Kanälen oder Webseiten ist nur mit vorheriger Genehmigung der Rechteinhaber erlaubt. Mehr erfahren

Conditions d'utilisation

L'ETH Library est le fournisseur des revues numérisées. Elle ne détient aucun droit d'auteur sur les revues et n'est pas responsable de leur contenu. En règle générale, les droits sont détenus par les éditeurs ou les détenteurs de droits externes. La reproduction d'images dans des publications imprimées ou en ligne ainsi que sur des canaux de médias sociaux ou des sites web n'est autorisée qu'avec l'accord préalable des détenteurs des droits. En savoir plus

Terms of use

The ETH Library is the provider of the digitised journals. It does not own any copyrights to the journals and is not responsible for their content. The rights usually lie with the publishers or the external rights holders. Publishing images in print and online publications, as well as on social media channels or websites, is only permitted with the prior consent of the rights holders. Find out more

Download PDF: 10.12.2025

ETH-Bibliothek Zürich, E-Periodica, https://www.e-periodica.ch

le flux dans l'air, alors que la courbe 1 donne une image de celui-ci dans un canal évacué de grand diamètre. Les deux courbes sont de même forme, la réduction provoquée par l'air qui absorbe et diffuse les neutrons est expérimentalement de $31 \pm 1\%$ alors que la valeur théorique est de $32 \pm 1\%$. (Note: tant le conduit que le collimateur ont été évacués.)

 V. Sailor, H. L. Foote Jr., H. H. Landon and R. E. Wood, Review Sc. Inst., 27, 26 (1956).

> Laboratoire de Recherches nucléaires Institut de Physique, Genève.

Dominique Roux. — Calcul de l'activité d'une feuille d'Au¹⁹⁸ à partir d'une mesure de coïncidence β — γ *.

Suivant le schéma de désintégration de l'Au¹⁹⁸, nous avons en proportion par unité de temps: N_0 , N_1 et N_2 rayons β_0 , β_1 et β_2 (on peut négliger N_0 devant N_1 et N_2).

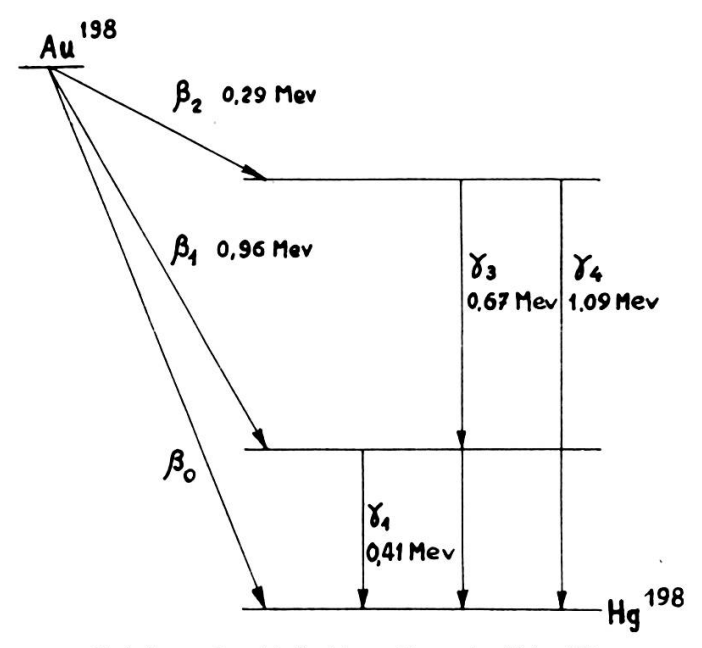


Schéma de désintégration de l'Au¹⁹⁸.

^{*} Ce travail a été effectué grâce aux subsides du Fonds national suisse de la Recherche scientifique.

 N_2 rayons β_2 produisent N_3 rayons γ_3 et γ_1 et N_4 rayons γ_4 . On a $N_2 = N_3 + N_4$.

Les rayons sont en proportion $N_1 + N_3$. N_x est le fond continu.

On définit ϵ comme le rendement d'un détecteur comprenant la géométrie du système source-détecteur, le seuil énergétique de détection, les effets d'absorption et de rétrodiffusion, etc. C'est aussi la probabilité de compter un rayon émis.

successeurs du rayon β_2 . Lors d'une émission β_2 , il y a $\frac{N_4}{N_2}$ chances d'émission γ_4 , il y a $\frac{N_3}{N_2}$ chances d'émission γ_3 puis γ_1 ; le compteur γ peut détecter un ou les deux rayons γ à la fois, donc

$$\epsilon \gamma_{13} > \epsilon \gamma_1$$
 et $\epsilon \gamma_3$.

On enregistre sur les compteurs y et \beta

$$\begin{split} N_{\gamma} &= \left[\epsilon \gamma_1 \; N_1 + \epsilon \gamma_{13} \; N_3 + \epsilon \gamma_4 \; N_4 + \epsilon \gamma_{\chi} \; N_{\chi} \right] \\ N_{\beta} &= \left[\epsilon \beta_1 \; N_1 + \epsilon \beta_2 \; N_2 + \epsilon \beta \gamma_1 \; N_1 + \epsilon \beta \gamma_{13} \; N_3 + \epsilon \beta \gamma_4 \; N_4 + \epsilon \beta_{\chi} \; N_{\chi} \right] \end{split}$$

On enregistre les coïncidences suivantes:

$$N_c = N_1 \, \epsilon \gamma_1 \, \epsilon \beta_1 + N_3 \, \epsilon \gamma_{13} \, \epsilon \beta_2 + N_4 \, \epsilon \gamma_4 \, \epsilon \beta_2 + N_3 \, (\epsilon \gamma_1 \, \epsilon \beta \gamma_3 + \epsilon \gamma_3 \, \epsilon \beta \gamma_1) + coinc.$$
 fort.

On mesure le bruit de fond du compteur γ , soit ε_x N_x . A l'aide d'une feuille de 1,5 mm d'Aluminium on peut absorber tous les rayons β sans produire d'effet sensible sur les rayons γ . A l'aide de cette feuille disposée entre la source et le compteur, on peut obtenir ($\varepsilon\beta\gamma_1$ $N_1 + \varepsilon\beta\gamma_{13}$ $N_3 + \varepsilon\beta\gamma_4$ $N_4 + \varepsilon\beta_x$ N_x). On peut aussi déterminer le nombre de coïncidences fortuites.

On forme alors:

$$\frac{N_{\gamma}^{*}\cdot N_{\beta}^{*}}{N_{c}^{*}} = \frac{\left[\epsilon\gamma_{1}\,N_{1} + \epsilon\gamma_{13}\,N_{3} + \epsilon\gamma_{4}\,N_{4}\right]\cdot\left[\epsilon\beta_{1}\,N_{1} + \epsilon\beta_{2}\,N_{2}\right]}{N_{1}\,\epsilon\gamma_{1}\,\epsilon\beta_{1} + N_{3}\,\epsilon\gamma_{13}\,\epsilon\beta_{2} + N_{4}\,\epsilon\gamma_{4}\,\epsilon\beta_{2} + N_{3}\,\left(\epsilon\gamma_{1}\,\epsilon\beta\gamma_{3} + \epsilon\gamma_{3}\,\epsilon\beta\gamma_{1}\right)}$$

Comme les β_2 ont une énergie max. de 290 kev, en discriminant à environ 250 kev dans le canal β , $\epsilon\beta_2 \cong 0$ et on obtient la simplification suivante sachant que $N_2 \approx N_3 << N_1$:

$$\frac{N_{\gamma}^{*} \cdot N_{\beta}^{*}}{N_{c}^{*}} = \frac{\left[N_{1} + \frac{\epsilon \gamma_{13}}{\epsilon \gamma_{1}} \cdot N_{3} + \frac{\epsilon \gamma_{4}}{\epsilon \gamma_{1}} \cdot N_{4}\right]}{1 + \frac{N_{3}}{N_{1}} \left(\frac{\epsilon \beta \gamma_{3}}{\epsilon \beta_{1}} + \frac{\epsilon \gamma_{3}}{\epsilon \gamma_{1}} \cdot \frac{\epsilon \beta \gamma_{1}}{\epsilon \beta_{1}}\right)}$$

On aura alors

$$\frac{N_{\gamma}^{*} \cdot N_{\beta}^{*}}{N_{c}^{*}} = (1 + \alpha) \cdot N$$

où N représente l'activité à déterminer. Il faut donc évaluer α suivant les proportions des différents branchements du schéma de désintégration, les épaisseurs des cristaux détecteurs et le choix du seuil d'énergie dans le canal γ .

Plusieurs proportions de branchements sont donnés [1, 2, 3].

Application à l'évaluation d'a.

$$N_1 = 0.986 . N; N_3 = 0.011 . N; N_4 = 0.003 . N.$$

Canal γ : détecteur (Na I) $1\frac{1''}{2} \times 1''$, seuil de discrimination 280 kev.

Canal β : détecteur Anthracène $1\frac{1''}{2} \times \frac{1''}{4}$, seuil de discrimination 600 kev

$$(1 + \alpha) = \frac{(0.986 + 1.8 \cdot 0.011 + 1.3 \cdot 0.003)}{[1 + 0.011 \cdot (0.1 + 0.1)]} \cong 1.008$$

Suivant les conditions expérimentales et les rapports de branchements donnés

$$0.010 > \alpha > 0$$
.

- 1. Review of Mod. Phys., 30, 774 (1958).
- 2. O. R. Frisch, The Nuclear Handbook.
- 3. Nuclear Data N.B.S. (1950), Suppl. 1.

Genève, novembre 1959.

Laboratoire de Recherches Nucléaires Institut de Physique, Genève.